

# Сережина Е.К., Обрезан А.Г.

ООО «Международный медицинский центр «СОГАЗ», Россия, Санкт-Петербург

# Применимость нагрузочной динамометрической пробы и спектральной следящей эхокардиографии в диагностике сердечной недостаточности с сохраненной фракцией выброса

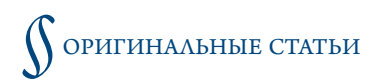
Цель	Сравнить деформационные свойства миокарда у пациентов с сердечной недостаточностью с сохраненной фракцией выброса левого желудочка (СНс $\Phi$ B) и здоровых добровольцев в покое и при выполнении динамометрической пробы, определить применимость данного метода для диагностики СНс $\Phi$ B.
Материал и методы	Пациентам с СНсФВ и здоровым добровольцам группы контроля выполнялась STE с одновременной регистрацией электрокардиограммы в покое и при выполнении динамометрической пробы. Обследуемые были проинструктированы поддерживать субмаксимальное сжатие мануального динамометра в течение 3 минут, с приложением максимального усилия в последние 30 секунд, продолжая размеренно дышать. Проводился клинико-лабораторный анализ маркеров миокардиального повреждения и сердечной недостаточности (СН). Статистические методы обработки данных указаны в результатах исследования. Остальные расчеты проводились с использованием пакета прикладной программы MS Office (Microsoft Excel).
Результаты	Различия показателей деформации миокарда между здоровыми добровольцами и пациентами с СН оказались более очевидными при измерениях, проводимых при физической нагрузке, в том числе при их динамике относительно показателей покоя. У пациентов с СНсФВ по сравнению с группой контроля имеет место существенное отклонение частоты сердечных сокращений и глобальной продольной сократимости миокарда левого желудочка (GLSлж) (достоверность различия, рассчитанная по методу ANOVA, превышает 95 и 80%, р<0,05 и р<0,2 соответственно). Пациенты со значительным изменением деформации, независимо от направленности изменения, с вероятностью более 95% по критерию Фишера показывали снижение фракции выброса левого желудочка (ФВлж) при выполнении пробы. Кроме того, пациенты с СНсФВ имели более высокие уровни мозгового N-концевого пропептида натрийуретического гормона В типа, а также симптомы СН. По сравнению с оценкой общей GLSлж расчет показателей деформации по сегментам выявляет больше различий между пациентами с СНсФВ и обследуемыми в группе контроля.
Заключение	STE с выполнением динамометрической пробы является результативным неинвазивным и легко воспроизводимым в амбулаторных условиях методом диагностики СНсФВ.
Ключевые слова	Сердечная недостаточность с сохраненной фракцией выброса; STE; глобальная продольная сократимость; динамометрическая проба
Для цитирования	Serezhina E.K., Obrezan A.G. Applicability of the load dynamometric test and speckle tracking echocardiography in the heart failure with preserved ejection fraction diagnosis. Kardiologiia. 2022;62(4):36–43. [Russian: Сережина Е.К., Обрезан А.Г. Применимость нагрузочной динамометрической пробы и спектральной следящей эхокардиографии в диагностике сердечной недостаточности с сохраненной фракцией выброса. Кардиология. 2022;62(4):36–43]
Автор для переписки	Сережина Елена Константиновна. E-mail: zlotnikova.elena.konst@gmail.com

ердечная недостаточность (СН) является серьезным бременем как для кардиологических пациентов, так и для систем здравоохранения во всем мире. Несмотря на значительный прогресс в диагностике и лечении данной патологии, показатели госпитализаций и смертности таких пациентов остаются высокими [1].

Необходимо заметить, что преобладающей формой этого заболевания является СН с сохраненной фракцией выброса левого желудочка (СНс $\Phi$ В), при этом частота ее постоянно возрастает [2]. Существуют разногласия между европейским и американским кардиологически-

ми сообществами относительно критериев диагностики СНсФВ. В то время как европейское сообщество настаивает на подтверждении диастолической дисфункции левого желудочка (ЛЖ) для констатации диагноза СНсФВ, американские кардиологи используют лишь типичные симптомы и признаки СН у пациентов с нормальным значением фракции выброса левого желудочка (ФВлж) без значительных клапанных аномалий по данным эхокардиографии и других провоцирующих факторов СН [3, 4].

Диагностика СНсФВ представляет собой сложную задачу и может основываться на выявлении прямых или кос-



венных свидетельств повышенного давления наполнения ЛЖ [5]. Многие пациенты с СНсФВ демонстрируют нормальное давление наполнения ЛЖ в состоянии покоя, в то время как нарушение диастолической функции данной камеры сердца выявляется лишь при физических нагрузках. Это затрудняет диагностику данной патологии. Важно заметить, что в настоящее время даже катетеризация сердца, являющаяся «золотым стандартом» диагностики СНсФВ, не широко распространена и имеет ряд существенных ограничений для применения в клинической практике, таких как воспроизводимость, сомнительное соотношение риск/польза, высокая стоимость, потребность в специальном оборудовании и высококвалифицированном медицинском персонале [6]. Неинвазивные методики, такие как допплеровское измерение трансмитрального кровотока, импульсно-волновая допплерография и измерение объема левого предсердия, имеют ряд существенных ограничений.

Ввиду вышесказанного необходим поиск и использование новейших визуализирующих методик и разработка хорошо воспроизводимых в амбулаторных условиях проб, достоверно позволяющих поставить диагноз СНсФВ. В последнее время для этих целей используется спектральная следящая эхокардиография (STE) - метод оценки сердечной функции, визуализирующий каждую область миокарда, как определенную, относительно стабильную и уникальную структуру паттернов, что дает возможность дифференцировать ее от других областей миокарда в течение сердечного цикла. Данный метод измеряет следующие параметры миокардиального сокращения: деформация (S-strain) и скорость деформации strain-rate (SR), количественно определяющих систолическую и диастолическую функцию миокарда в трех взаимоперпендикулярных плоскостях. В эхокардиографии под «деформацией» понимают локальное укорочение, утолщение и удлинение миокарда как показателя региональной функции ЛЖ. Следует заметить, что положительная деформация означает удлинение, а отрицательная деформация – укорочение. Во избежание недопонимания при оценке деформации следует указывать увеличение или уменьшение абсолютного значения напряжения. Исследования показали, что оценка продольной (GLS) и циркулярной деформации миокарда являются более чувствительными методами, нежели оценка ФВлж, что способствует ранней диагностике, стратификации риска формирования СНсФВ и инициации терапии. К преимуществам данной методики относятся: высокое временное и пространственное разрешение, независимость от угла сканирования и ограниченного эхо-окна, хорошая воспроизводимость, неинвазивность, большая, по сравнению с инвазивным методиками, доступность и возможность реализации в амбулаторных

условиях. Точность измерения параметров деформации миокарда при помощи метода спектральной следящей эхокардиографии была подтверждена экспериментально при сравнении с измерениями in vivo с помощью сономикрометрии и клинически с помощью методов магнитнорезонансной маркировки [7, 8].

Как было сказано выше, ранняя диагностика СНсФВ затруднена ввиду того, что у некоторых пациентов диастолическая дисфункция ЛЖ выявляется лишь при выполнении динамических нагрузочных проб. Следует отметить, что проведение стандартных проб с физической нагрузкой имеет ряд ограничений: необходимость в специальном оборудовании, физические возможности пациента (ограничение подвижности суставов, облитерирующий атеросклероз сосудов нижних конечностей), артефакты движения, затрудняющие интерпретацию электрокардиограммы (ЭКГ), связанные с динамическими упражнениями. Оптимальным решением данной проблемы может служить динамометрическая проба физиологичный, безопасный, неинвазивный, легко реализуемый и воспроизводимый в амбулаторных условиях метод. Несмотря на участие только относительно небольшой группы мышц, упражнение динамометрическая проба увеличивает постнагрузку сердца, что оказывает существенное влияние на сердечно-сосудистую систему: систолическое артериальное давление  $(A\Delta)$ , диастолическое АД и частота сердечных сокращений (ЧСС) заметно повышаются, что, как полагают, связано с реализацией кардиоваскулярного рефлекса, служащего для повышения перфузионного давления в сокращающихся группах мышц. Повышение ЧСС приводит к уменьшению времени сокращения миокарда на одно сердцебиение. Укорочение сердечного цикла может выявить дисбаланс реакции напряжения, ЧСС и нарушение диастолической функции в ответ на повышенную постнагрузку [9].

#### Цель

Цель работы – определение эффективности и применимости спектральной STE и динамометрической пробы для диагностики CHcФB.

## Материал и методы

Группа исследуемых составила 43 человека с СНсФВ, верифицированной согласно критериям Европейского общества кардиологов [4]. Критериями исключения являлись: сниженная ФВлж (<50%), фибрилляция и трепетание предсердий, атриовентрикулярные нарушения проводимости, наличие кардиостимулятора или имплантированного кардиовертера-дефибриллятора, клапанные патологии со степенью стеноза и/или регургитации выше 1-й степени, малые аномалии развития сердца, значимые коморбидные состояния (нарушения функ-



Таблица 1. Исходные данные исследуемых

Параметр	СНсФВ, n=43	Группа контроля, n=39	Значение р	
Возраст, годы	65,3±8,36	50,3±13	<0,001	
Женщины, п (%)	21 (48)	21 (54)	<0,06	
Индекс массы тела, кг/м <sup>2</sup>	27,6±4,46	25,8±4,76	<0,084	
Артериальная гипертензия, n (%)	9 (20)	7 (18)	<0,7	
Наличие отеков, п (%)	15 (35)	6 (15)	<0,04	
ИБС, п (%)	8 (19)	3 (8)	<0,001	
XCH NYHA I, n (%)	13 (30)	-	-	
XCH NYHA II, n (%)	2(5)	-	-	
ЧСС, ударов в 1 мин.	63,29±1,76	68,17±1,42	<0,001	
NT-pro-BNP, пг/мл	147,92±35,31	0,244±0,11	<0,02	
Эхокардиографически	е параметры			
ФВлж, %	56,11±0,83	56,79±0,83	0,565	
КДОлж, мл	93,07±28,42	89,49±26,86	0,474	
КСОлж, мл	43,8±19,23	40,97±14,70	0,467	
Индекс объема $\Pi$ , мл/м $^2$	17,15±5,18	15,94 ±3,86	0,243	
Размер ЛП (В-режим)/ ППТ, мм/м²	18±2,32	16,73±1,81	0,009	
Индекс ММ $\Lambda$ Ж, г $/$ м $^2$	101,91±27,75	80,74±17,35	<0,001	
Е, м/с	0,69±0,18	0,74±0,16	0,237	
А, м/с	0,73±0,19	0,65±0,15	0,156	
E/A	1,04±0,44	1,2±0,35	0,069	
DT, c	0,205±0,08	0,186±0,044	0,248	
e'sept, м/с	0,07±0,02	0,1±0,02	<0,001	
e'lat, м/с	0,08±0,03	0,13±0,03	<0,001	
E/e'	9,3±2,66	6,67±1,66	<0,001	
GLS, %	19,18±0,42	20,16±0,45	0,122	

ИБС – ишемическая болезнь сердца, XCH – хроническая сердечная недостаточность, NYHA – класс сердечной недостаточности по Нью-Йоркской классификации, ЧСС – частота сердечных сокращений, ФВлж – фракция выброса левого желудочка, КДО – конечный диастолический объем, КСО – конечный систолический объем, ЛП – левое предсердие, ППТ – площадь поверхности тела, ММЛЖ – масса миокарда левого желудочка, E – максимальная скорость трансмитрального кровотока в фазу быстрого наполнения, A – максимальная скорость трансмитрального кровотока в фазу систолы предсердий, е'sept и e'lat – ранние скорости смещения перегородки и латеральной стенки сердца у основания митрального клапана, DT – время замедления трансмитрального кровотока, e – средняя ранняя диастолическая скорость релаксации миокарда, GLS – глобальная продольная деформация, NT-proBNP.

ции щитовидной железы, патология опорно-двигательного аппарата верхних конечностей). Группа контроля была представлена исследуемыми, у которых согласно критериям Европейского кардиологического сообщества не было верифицировано СНсФВ. Исследование было выполнено в соответствии со стандартами надлежащей клинической практики (Good Clinical Practice) и принципами Хельсинкской Декларации. Протокол исследования был одобрен Этическим комитетом СПбГУ.

До включения в исследование у всех участников было получено письменное информированное согласие. Подробно характеристики пациентов представлены в таблицах 1 и 2.

Перед началом сбора данных испытуемые отдыхали в положении лежа на спине около 10 минут. ЧСС контролировали в течение всего эксперимента по стандартной ЭКГ с тремя отведениями, записанной в системе ультразвукового аппарата VIVID iq, (General Electric, США). АД измеряли в состоянии покоя и в первую минуту после прекращения нагрузки при помощи механического тонометра (Riester, Германия). Для проведения динамометрической пробы использовался мануальный динамометр. Обследуемые были проинструктированы поддерживать субмаксимальное сжатие динамометра доминирующей рукой в течение 3 минут, с приложением максимального усилия в последние 30 секунд, продолжая дышать размеренно, избегая маневра Вальсальвы. Данная интенсивность физической нагрузки была выбрана с целью максимизации утомляемости и увеличения вероятности поддержания целевого уровня усилия обследуемым в течение всей пробы. Важно отметить, исследования показали, что увеличение нагрузки не приводит к дальнейшему нарастанию АД [10].

Во время проведения пробы оператор выполнял трансторакальную эхокардиографию на аппарате VIVID iq, (General Electric, США). Проводилась запись 3 последовательных сердечных циклов в четырехкамерной, пятикамерной и двухкамерной позициях в состоянии покоя и в течение последних 30 секунд пробы. Для каждой записи использовалась одинаковая частота кадров для последующего анализа STE. Все данные хранились в цифровом виде. Все параметры измерялись в соответствии с текущими рекомендациями [11]. Для расчета параметров деформации вручную маркировались эндокардиальные и эпикардиальные границы в конце систолы и диастолы. Деформация рассчитывалась автоматически для каждого сегмента миокарда, затем показатели усреднялись. Во время систолы происходит укорочение миокарда, что приводит к отрицательным значениям показателей деформации. При их сравнении будут использованы абсолютные значения деформации.

Остальные расчеты проводились с использованием пакета прикладных программ MS Office. Статистические методы обработки данных будут указаны в результатах исследования.

Для обоснования возможности применения параметрических статистических критериев, в частности, t-критерия Стьюдента для проверки значимости отличия средних, а также критерия Фишера, используемого в однофакторном дисперсионном анализе (метод ANOVA), проведена предварительная проверка гипоте-



**Таблица 2.** Параметры продольной деформации по сегментам в покое и при проведении динамометрической пробы у пациентов с СНсФВ и группы контроля

Параметр	СНсФВ в покое	Группа контроля в покое	P	СНсФВ при проведении пробы	Группа контроля при проведении пробы	p
GLS average	19,18±0,42	20,16±0,45	0,122	17,96±0,42	18,87±0,56	0,173
GLS 2 CH	17,96±0,56	19,3±0,57	0,102	16,32±0,53	17,7±0,61	0,088
GLS 4 CH	19,62±0,56	20,93±0,51	0,093	21,35±2,17	19,45±0,68	0,72
GLS lax	19,58±0,54	20,35±0,59	0,339	18,28±0,68	19,8±0,67	0,116
BS	15,91±0,56	16,33±0,66	0,623	14,69±0,63	15,97±0,58	0,142
MS	19,27±0,65	20,59±0,54	0,132	18,29±0,63	19,38±0,61	0,223
AS	26,82±2,79	25,49±0,76	0,666	22,51±0,85	24,2±0,89	0,666
BL	16,73±0,8	17,33±0,63	0,572	15,93±0,9	16,15±0,67	0,849
ML	23,22±3,89	20,3±0,58	0,491	19,4±0,68	19±0,86	0,731
AL	22,98±0,91	24,72±0,73	0,149	23,18±0,77	23,87±0,99	0,576
BI	18,58±0,48	17,77±0,87	0,41	15,49±0,9	15,87±0,89	0,766
MI	19,53±0,59	19,46±0,77	0,943	16,8±0,86	17,64±0,78	0,512
AI	21,78±0,99	23,54±0,77	0,175	19,56±0,86	20,69±0,95	0,379
BA	12,07±0,73	14,54±0,94	0,037	11,09±0,88	13,49±0,97	0,071
MA	15,96±0,93	18,92±0,8	0,019	13,9±0,97	17,18±0,78	0,012
AA	21,38±1,16	24,39±0,8	0,037	18,6±1,1	21,67±1,03	0,047
BP	17,53±0,69	17,12±0,92	0,721	16,76±0,99	15,4±0,92	0,318
MP	18,71±0,64	19,51±0,67	0,394	17,78±0,9	17,79±0,77	0,989
AP	22,16±0,89	25,23±0,8	0,013	21,27±0,86	23,77±0,83	0,041
BAS	16,93±0,58	17,02±0,79	0,921	15,04±0,73	16,64±0,77	0,112
MAS	20,8±0,66	21,15±0,82	0,736	18,56±0,71	20,64±0,78	0,052
AAS	24,44±1,64	25,18±0,86	0,72	21,78±0,88	24,2±0,98	0,068
ЧСС, уд. в мин.	63,29±1,76	68,17±1,4	0,036	77,42	83,53±1,7	0,017
ФВ ЛЖ, %	56,11±0,83	56,79±0,83	0,563	52,13±1,06	55,51±1,18	0,036

GLS average — общая глобальная продольная деформация, GLS 2CH — продольная деформация, измеренная в двухкамерной позиции, GLS 4 CH — продольная деформация, измеренная в четырехкамерной позиции, GLS 1 аликальнай деформация, измеренная в пятикамерной позиции; Сегменты: 1 азальный перегородочный, 1 апикальный перегородочный, 1 апикальный перегородочный, 1 апикальный латеральный, 1 апикальный инжний, 1 апикальный инжний, 1 апикальный инжний, 1 апикальный передний, 1 апикальный инжний, 1 апикальный передний, 1 апикальный передний, 1 апикальный передний, 1 апикальный задний, 1 апикальный задний, 1 апикальный передне-перегородочный, 1 апикальный перегородочный, 1 апикальный перегородочный перегородочный перегородочный перегородочный перегоро

**Рисунок 1.** Взаимосвязь между количеством пораженных сегментов и динамикой  $\Phi$ Влж во время динамометрической пробы



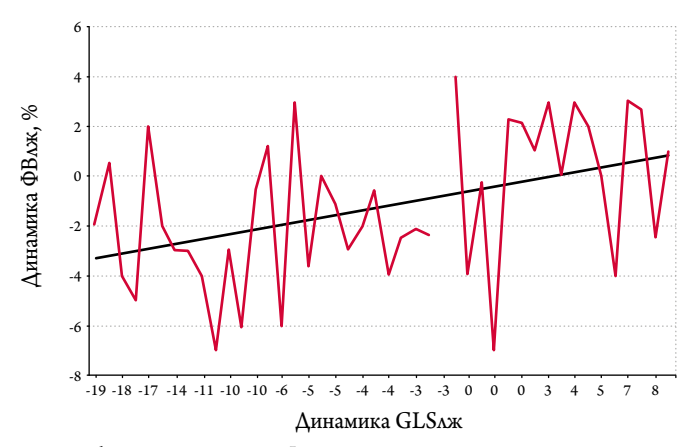
По оси абсцисс – количество пораженных сегментов, по оси ординат – абсолютная разница  $\Phi B \Lambda \mathcal{K}$ , выраженная в процентах, при проведении пробы и в покое. Черная прямая – линия тренда (линия регрессии), синяя – поле корреляции (рассеяния).

Рисунок 2. Взаимосвязь между количеством пораженных сегментов и динамикой GLSлж при проведении динамометрической пробы



По оси абсцисс – количество пораженных сегментов, по оси ординат – разность GLSлж при проведении пробы и в покое. Черная прямая – линия тренда (линия регрессии), синяя – поле корреляции (рассеяния).

**Рисунок 3.** Взаимосвязь между динамикой GLSлж и ФВлж



По оси абсцисс – динамика ФВлж, по оси ординат – динамика GLSлж при проведении пробы и в покое. Черная прямая – линия тренда (линия регрессии), красная – поле корреляции (рассеяния).

зы о нормальности распределения исследуемых величин, в частности, величины продольной деформации. Гипотеза о нормальности распределения проверена по критерию Пирсона с уровнем достоверности 80%. Непрерывные величины представлены в виде M±SD, где M - среднее значение, SD – среднеквадратическая (стандартная) ошибка определения среднего значения. Категориальные величины выражены в процентах. Для оценки значимости различия категориальных и количественных показателей у пациентов с СНсФВ и контрольной группы применен метод ANOVA; кроме того, проверка значимости количественных параметров проведена с использованием t-критерия Стьюдента. Различия считались статистически значимыми при р<0,2. При этом также получены количественные оценки достоверности существенных отличий значений показателей у пациентов с СНсФВ и контрольной групп, использованные для выбора наиболее информативных показателей. Оценка значимости различия среднего значения показателей у пациентов с СНсФВ и контрольной групп проверялась по t-критерию Стьюдента с оценкой достоверности различия по каждому показателю.

Наше исследование показало значимую взаимосвязь между количеством пораженных сегментов и тенденцией к снижению ФВлж (рассчитанное значение коэффициента корреляции равно 0,33; рис. 1), а также значимую взаимосвязь со снижением GLSлж (рассчитанное значение коэффициента корреляции составляет 0,39; рис. 2) при проведении динамометрической пробы. Кроме того, имеет место значимая взаимосвязь между снижением GLSлж и ФВлж (рассчитанное значение коэффициента корреляции равно 0,37; рис. 3) при выполнении пробы. Оценка значимости полученных показателей коэффициента корреляции проведена по критерию Стьюдента.

# Результаты

Внутригрупповые отклонения показателей деформации миокарда оказались более очевидными при измерениях, проводимых при физической нагрузке. Повышение прогностической значимости данных параметров во время их оценки при динамометрическая пробе может служить основанием для включения данного метода исследования в раннюю диагностику СНсФВ.

При выполнении динамометрической пробы изменение GLSлж вследствие увеличения постнагрузки неоднородно: в то время как у некоторых исследуемых отмечается увеличение или уменьшение данного показателя, у других он остается стабильным. Для проверки существенности различий данного показателя были использованы два метода: однофакторный дисперсионный анализ (ANOVA) и двухсторонний тест Стьюдента для средних значений. Достоверность различия значений показателя GLSлж между пациентами с СНсФВ и контрольной группы, рассчитанная по методу ANOVA, превышает 80% (р<0,2). Достоверность различия среднего значения показателя GLSлж для указанных групп превышает 90% (р<0,1).

У пациентов с СНсФВ абсолютный показатель изменения GLS повышен по сравнению с контрольной группой. Так, по методу ANOVA, достоверность различия между пациентами с СНсФВ и контрольной группы составляет не менее 95% (р<0,05) для сегментов среднего переднего, апикального переднего, апикального заднего, среднего передне-перегородочного, в то время как для показателей базального переднего, апикального передне-перегородочного, GLSAж в двухкамерной проекции – не менее 90% (p<0,1), для показателей GLSлж в трех проекциях и в пятикамерной проекции, а также по сегментам всем септальным и базальному передне-перегородочному – не менее 80% (р<0,2). Достоверность различия средних значений показателей по критерию Стьюдента составляет: для показателей GLSлж в двухкамерной проекции, среднего переднего, базального переднего, апикального переднего, апикального заднего, среднего передне-перегородочного, апикального переднеперегородочного – не менее 95% (p<0,05), для GLSлж в трех проекциях и в пятикамерной проекции, базального и апикального сепитальных, базального передне-перегородочного – не менее 90% (р<0,1), для показателей медиального септального и базального заднего – не менее 80% (p<0,2).

Пациенты с СНсФВ со значительным изменением деформации, независимо от направления изменения, с большей вероятностью демонстрировали снижение ФВлж при выполнении пробы. Определение значимости различия величины снижения проводилось путем оценки различия дисперсии снижения ФВлж в группах СНсФВ



# Единственный ПОАК, который приводил к снижению рисков по трем показателям у пациентов с НФП1\*



«Исследование ARISTOTLE – одно из 12 жизнеспасающих исследований, оказавших наиболее значимое влияние на клиническую практику за последние 19 лет»<sup>2</sup>



Д-р Дж. Дрезен, главный редактор «Медицинского журнала Новой Англии»

# Эликвис® (апиксабан) – ОАК №1 в мире

по количеству дней назначенного лечения пациентам\*\* по показаниям НФП и ВТЭ\*\*\*

. но с варфарином!. \*\* Дни назначенного лечения рассчитаны на основе данных аналитической платформы IQVIA MIDAS по реализации препаратов за 6 месяцев, III квартал 2020 года. Стандартные единицы рассчитаны по рекомендованной суточной дозе IQVIA MIDAS\*3. \*\*\* Показания учитывались при масштабировании объема

ger C.B. et al. Apixaban versus warfarin in patients with atrial fibrillation // N Engl J Med. 2011 Sep 15; 365 (11): 981–992. 2. Special Publication from New England Journal of Medicine. Edward L. Pratt Research Library. URL: https://prattlibrary.cchmc.org/content/special-publication-new-eng







и контроля. Достоверность различия среднего значения дисперсии снижения у пациентов с СНсФВ и контрольной групп по критерию Фишера превышала 95%. Кроме того, такие пациенты с СНсФВ имели высокие уровни NTproBNP, а также симптомы СН.

Результаты выполненного нами исследования показывают, что при выполнении динамометрической пробы у пациентов с СНсФВ по сравнению с группой контроля имеет место существенное отклонение ЧСС [достоверность различия, рассчитанная по методу ANOVA, превышает 98% (p<0,02)] и GLSлж [достоверность различия, рассчитанная по методу ANOVA, превышает 80% (p<0,2)].

Изучение показателей деформации по сегментам по сравнению с оценкой общей GLSлж выявляет больше различий между пациентами с СНсФВ и обследуемыми группы контроля. Так, достоверность различия по параметру общей GLSлж, рассчитанная по методу ANOVA, не превышает 90% (р<0,1), в то время как оценка достоверности различия показателей по сегментам среднего переднего, апикального переднего, апикального заднего, среднего передне-перегородочного, полученная тем же методом, составляет не менее 95% (p<0,05). Дальнейший анализ паттернов деформации среди затронутых сегментов показал, что сегменты с нарушенной сократимостью расположены в области перфузии левой передней нисходящей артерии. Аналогичные данные, полученные при помощи магнитно-резонансной томографии, представлены коллегами – Hashemi D et al. [12].

## Обсуждение

Полученные в ходе исследования данные, отображенные в таблице 1, показывают, что пациенты с СНсФВ старше, чем в группе контроля. Кроме того, среди больных СНсФВ чаще встречаются мужчины, что согласуется с данными последних эпидемиологических исследований [1, 13, 14]. У пациентов с СНсФВ чаще встречаются ИБС и артериальная гипертензия, которые могут играть значимую роль в формировании данной патологии. Основываясь на результатах исследования, представленных в таблице, можно заключить, что хроническая СНсФВ сопровождается увеличением КДОлж и КСОлж и толщины стенок ЛЖ, снижением ранней и поздней диастолических скоростей релаксации миокарда, увеличением соотношения максимальной скорости раннего диастолического наполнения ЛЖ и средней ранней диастолической скорости релаксации миокарда, уменьшением соотношения максимальной ранней и поздней скоростей диастолического наполнения левого желудочка, увеличением времени замедления раннего трансмитрального кровотока, снижением септальной, латеральной и средней скорости ранней диастолической релаксации миокарда. Следует отметить снижение всех показателей продольной деформации миокарда, а также фракции выброса левого желудочка у больных СНсФВ по сравнению с группой контроля. Полученные нами данные свидетельствуют о наличии систолической и диастолической дисфункции миокарда у пациентов с СНсФВ.

Затруднения в ранней диагностике СНсФВ обусловлены тем фактом, что у некоторых пациентов систолическая и диастолическая дисфункции ЛЖ выявляются лишь при выполнении дополнительной пред- или постнагрузки на миокард. Следует отметить, что проведение стандартных проб с физической нагрузкой имеет ряд ограничений: необходимость в специальном оборудовании, физические возможности пациента (ограничение подвижности суставов, облитерирующий атеросклероз сосудов нижних конечностей), артефакты движения, затрудняющие интерпретацию ЭКГ, связанные с динамическими упражнениями. Оптимальным решением данной проблемы могут служить STE с применением динамометрической пробы – физиологичной, безопасной, неинвазивной, легко реализуемой и воспроизводимой в амбулаторных условиях нагрузочной пробы. При выполнении функциональной пробы вследствие повышения нагрузки на миокард отмечаются большие, по сравнению с состоянием покоя, отклонения показателей деформационных свойств миокарда, что позволяет верифицировать СНсФВ. Данный метод не только сопоставим с более сложными диагностическими методиками, например, магнитно-резонансной томографией миокарда с контрастированием, но и имеет собственную прогностическую ценность [15, 16].

# Ограничения исследования

Следует отметить ряд ограничений данного исследования. Так, показатели деформации миокарда не могут быть корректно измерены и оценены у больных с выраженной клапанной патологией и такими нарушениями ритма, как фибрилляция и трепетание предсердий, атриовентрикулярные нарушения проводимости, наличие кардиостимулятора или имплантированного кардиовертерадефибриллятора.

### Выводы

При выполнении динамометрической пробы пациенты с СНсФВ демонстрируют неоднородное изменение GLSлж, в то же время абсолютный показатель изменения GLSлж у таких пациентов повышен по сравнению с контрольной группой. Помимо измерения GLSлж, следует уделять особое внимание посегментному анализу параметров деформации, который по сравнению с оценкой общей GLSлж позволяет выявить больше различий между пациентами с СНсФВ и группой контроля. Кроме того, наше исследование выявило корреляцию между снижени-



ем GLSлж и ФВлж при проведении нагрузочной пробы, что свидетельствует о нарушении систолической функции ЛЖ. Количество пораженных сегментов также коррелирует со снижением ФВлж и GLSлж.

Данное исследование, позволяющее более точно оценить систолическую и диастолическую функции миокарда, обосновывает применимость количественной оценки деформации под влиянием изометрической нагрузки типа динамометрической пробы для ранней диагностики CHcФB.

Конфликт интересов не заявлен.

Статья поступила 23.08.2021

#### СПИСОК ЛИТЕРАТУРЫ

- Roger VL. Epidemiology of Heart Failure: A Contemporary Perspective. Circulation Research. 2021;128(10):1421–34. DOI: 10.1161/CIRCRESAHA.121.318172
- Ratchford SM, Clifton HL, La Salle DT, Broxterman RM, Lee JF, Ryan JJ et al. Cardiovascular responses to rhythmic handgrip exercise in heart failure with preserved ejection fraction. Journal of Applied Physiology. 2020;129(6):1267–76. DOI: 10.1152/japplphysiol.00468.2020
- 3. Yancy CW, Jessup M, Bozkurt B, Butler J, Casey DE, Colvin MM et al. 2017 ACC/AHA/HFSA Focused Update of the 2013 ACCF/AHA Guideline for the Management of Heart Failure: a report of the American College of Cardiology/American Heart Association Task Force on Clinical Practice Guidelines and the Heart Failure Society of America. Journal of the American College of Cardiology. 2017;70(6):776–803. DOI: 10.1016/j.jacc.2017.04.025
- McDonagh TA, Metra M, Adamo M, Gardner RS, Baumbach A, Böhm M et al. 2021 ESC Guidelines for the diagnosis and treatment of acute and chronic heart failure. European Heart Journal. 2021;42(36):3599–726. DOI: 10.1093/eurheartj/ehab368
- 5. Gudieva Kh.M., Safarova A.F., Kobalava Zh.D. Application of the HFA-PEFF algorithm for diagnosis of heartfailure with preserved left ventricular ejection fraction. Clinical pharmacology and therapy. 2020;29(2):47–50. [Russian: Гудиева Х.М., Сафарова А.Ф., Кобалава Ж.Д. Применение алгоритма HFA-PEFF для диагностики сердечной недостаточности с сохраненной фракцией выброса левого желудочка. Клиническая фармакология и терапия. 2020;29(2):47-50]. DOI: 10.32756/0869-5490-2020-2-47-50
- Kapłon-Cieślicka A, Kupczyńska K, Dobrowolski P, Michalski B, Jaguszewski MJ, Banasiak W et al. On the search for the right definition of heart failure with preserved ejection fraction. Cardiology Journal. 2020;27(5):449–68. DOI: 10.5603/CJ.a2020.0124
- 7. Serezhina E.K., Obrezan A.G. New imaging techniques in the diagnosis of heart failure with preserved ejection fraction. Russian Medical Journal. Medical Review. 2019;3(1–2):52–6. [Russian: Сережина Е.К. Обрезан А.Г. Новые визуализирующие методики в диагностике сердечной недостаточности с сохранной фракцией выброса. Русский Медицинский Журнал. Медицинское обозрение. 2019;3(1-2):52-6]
- Smiseth OA, Torp H, Opdahl A, Haugaa KH, Urheim S. Myocardial strain imaging: how useful is it in clinical decision making? Europe-

- an Heart Journal. 2016;37(15):1196–207. DOI: 10.1093/eurheartj/ehv529
- 9. Potter E, Marwick TH. Assessment of Left Ventricular Function by Echocardiography: The Case for Routinely Adding Global Longitudinal Strain to Ejection Fraction. JACC: Cardiovascular Imaging. 2018;11(2 Pt 1):260–74. DOI: 10.1016/j.jcmg.2017.11.017
- Weiner RB, Weyman AE, Kim JH, Wang TJ, Picard MH, Baggish AL. The impact of isometric handgrip testing on left ventricular twist mechanics: Handgrip testing and left ventricular twist. The Journal of Physiology. 2012;590(20):5141–50. DOI: 10.1113/jphysiol.2012.236166
- Mitchell C, Rahko PS, Blauwet LA, Canaday B, Finstuen JA, Foster MC et al. Guidelines for Performing a Comprehensive Transthoracic Echocardiographic Examination in Adults: Recommendations from the American Society of Echocardiography. Journal of the American Society of Echocardiography. 2019;32(1):1–64. DOI: 10.1016/j.echo.2018.06.004
- Hashemi D, Motzkus L, Blum M, Kraft R, Tanacli R, Tahirovic E et al. Myocardial deformation assessed among heart failure entities by cardiovascular magnetic resonance imaging. ESC Heart Failure. 2021;8(2):890–7. DOI: 10.1002/ehf2.13193
- Baicu CF, Zile MR, Aurigemma GP, Gaasch WH. Left ventricular systolic performance, function, and contractility in patients with diastolic heart failure. Circulation. 2005;111(18):2306–12. DOI: 10.1161/01. CIR.0000164273.57823.26
- Kubiak, Ciarka, Biniecka, Ceranowicz. Right Heart Catheterization Background, Physiological Basics, and Clinical Implications. Journal of Clinical Medicine. 2019;8(9):1331. DOI: 10.3390/jcm8091331
- Wdowiak-Okrojek K, Wejner-Mik P, Kasprzak JD, Lipiec P. Recovery of regional systolic and diastolic myocardial function after acute myocardial infarction evaluated by two-dimensional speckle tracking echocardiography. Clinical Physiology and Functional Imaging. 2019;39(2):177–81. DOI: 10.1111/cpf.12553
- Helle-Valle T, Crosby J, Edvardsen T, Lyseggen E, Amundsen BH, Smith H-J et al. New Noninvasive Method for Assessment of Left Ventricular Rotation: Speckle Tracking Echocardiography. Circulation. 2005;112(20):3149–56. DOI: 10.1161/CIRCULA-TIONAHA.104.531558